

I vaccini Moderna e Comirnaty B4-5 non presentano azoto e fosforo (spettroscopia a raggi X a dispersione di energia), suggerendo l'assenza di mRNA. Nanotecnologie nei vaccini COVID

**Dott. Geanina Hagimă - ostetrica e ginecologa
Romania**

Abstract

È ufficialmente dichiarato che i vaccini COVID contengono nanoparticelle ottenute tramite nanotecnologie. Considerate le numerose incertezze relative ai vaccini COVID, inclusa la loro composizione, nell'ottobre 2023 ho deciso di effettuare un'analisi del vaccino Moderna e del vaccino Comirnaty-Omicron B4-5, avvalendomi della competenza di un professionista della microscopia elettronica. L'analisi è stata condotta mediante microscopia elettronica a scansione e spettroscopia a raggi X a dispersione di energia (EDX).

Le nostre analisi hanno rivelato che entrambi i prodotti, i vaccini Moderna e Comirnaty-Omicron B4-5, contengono prevalentemente atomi di carbonio, ossigeno e silicio, senza che siano stati identificati atomi di azoto e fosforo, elementi che dovrebbero essere presenti qualora tali prodotti contenessero mRNA.

Considerate le discrepanze tra la composizione identificata mediante EDX e la composizione dichiarata dei vaccini COVID, si rende necessaria un'immediata e pressante richiesta di analisi ufficiali di tali prodotti.

Introduzione

È ufficialmente risaputo che i vaccini COVID contengono nanoparticelle ottenute tramite l'impiego di nanotecnologie (1,2). Secondo diversi studi, le nanotecnologie possono indurre svariati effetti avversi, compresi danni al DNA. Ciononostante, il foglietto illustrativo di questi prodotti sperimentali dichiara esplicitamente che non sono stati condotti studi di cancerogenicità e genotossicità, presumendo l'assenza di potenziale genotossico (3).

È sorprendente quanto sia ancora poco noto, persino a medici e farmacisti, che le nanotecnologie non siano soggette a una regolamentazione chiara e che le proprietà degli elementi in scala nanometrica differiscano sensibilmente da quelle degli stessi elementi in dimensioni maggiori. L'industria delle nanotecnologie gode di finanziamenti ingenti, con applicazioni in molteplici settori, tra cui quello farmaceutico. La tossicità dei prodotti derivanti dalle nanotecnologie è oggetto di studi insufficienti, il che desta serie preoccupazioni circa la sicurezza del loro impiego. L'apparente scarsa familiarità dei professionisti di diversi settori con le peculiari proprietà dei nanoprodotto e le relative problematiche di tossicità risulta difficilmente giustificabile, considerato il prolungato utilizzo di queste tecnologie in numerosi ambiti.

Nonostante i produttori fossero consapevoli delle problematiche normative relative alle nanotecnologie e ai loro potenziali effetti tossici, i vaccini COVID sono stati approvati, distribuiti e promossi come "sicuri ed efficaci". Questa osservazione potrebbe rivelarsi utile in azioni legali intraprese sia contro i produttori, sia contro coloro che li hanno presentati al pubblico come sicuri.

Considerate le numerose incertezze inerenti ai vaccini COVID, inclusa la loro composizione, nell'ottobre 2023 ho deciso di effettuare un'analisi del vaccino Moderna e del vaccino Comirnaty Omicron B4-5, avvalendomi della competenza di un professionista della microscopia elettronica.

Metodo

L'analisi è stata condotta tramite microscopia elettronica a scansione e spettroscopia a raggi X a dispersione di energia (EDX. Si precisa che la tecnica EDX potrebbe non rilevare elementi presenti in concentrazioni inferiori all'1%. Inoltre, poiché la griglia/supporto di analisi è composto da nichel, quest'ultimo non viene quantificato nel campione.

Risultati

È stato rilevato che entrambi i prodotti, i vaccini Moderna e Comirnaty-Omicron B4-5, contengono principalmente atomi di carbonio, ossigeno e silicio, senza evidenziare la presenza di atomi di azoto e fosforo, come invece ci si aspetterebbe in presenza di mRNA o DNA. Nel vaccino Comirnaty Omicron, inoltre, sono stati identificati magnesio, titanio e un elemento raro, l'ittrio. Nel prodotto Moderna sono stati inoltre rilevati atomi di titanio, stagno, alluminio e magnesio.

Le immagini seguenti rappresentano analisi tramite microscopia elettronica a scansione e spettroscopia a raggi X a dispersione di energia (EDX) del vaccino Moderna.

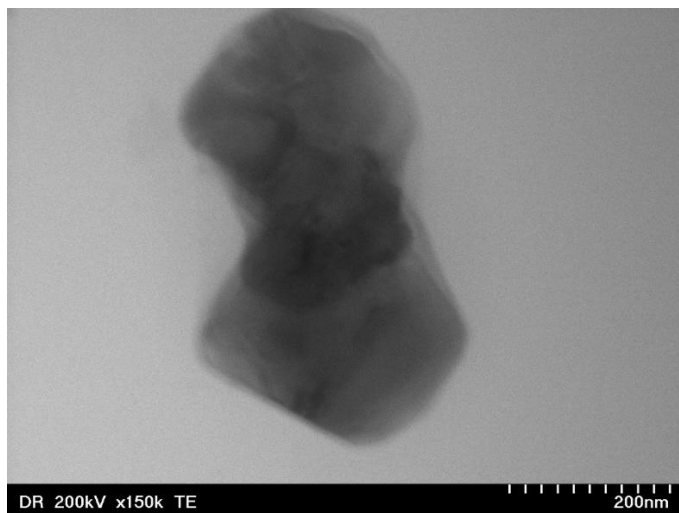


Fig. 1. Microscopia elettronica a scansione - vaccino Moderna.

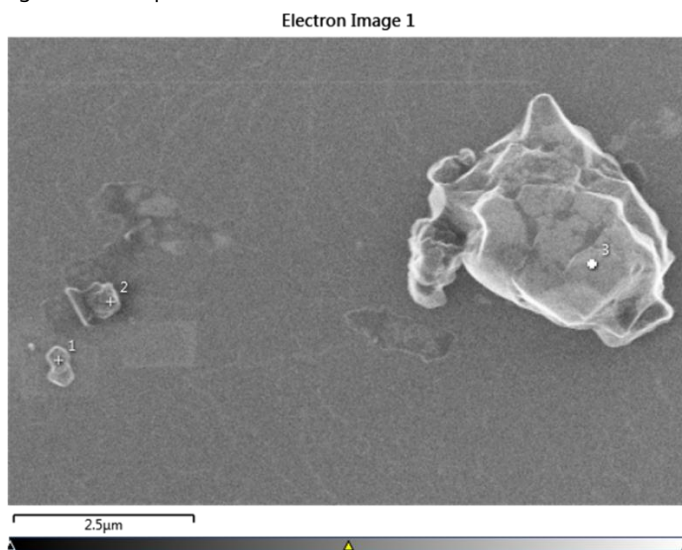


Fig. 2. Microscopia elettronica a scansione - vaccino Moderna.

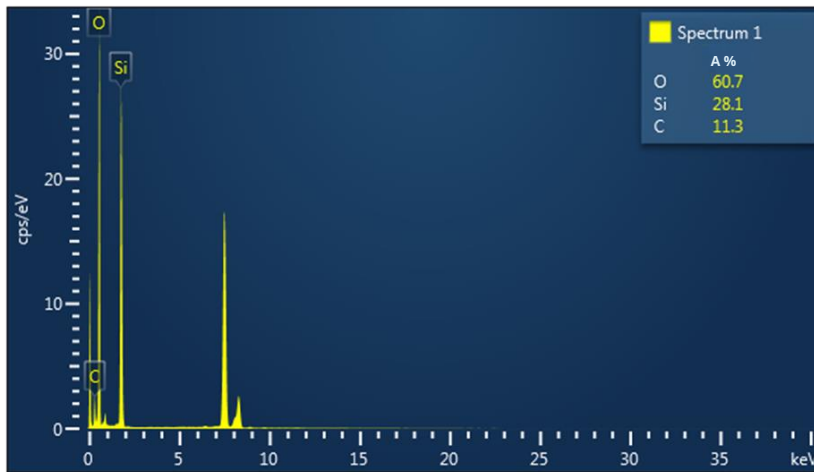


Fig. 3 Spettroscopia a raggi X a dispersione di energia - Vaccino Moderna

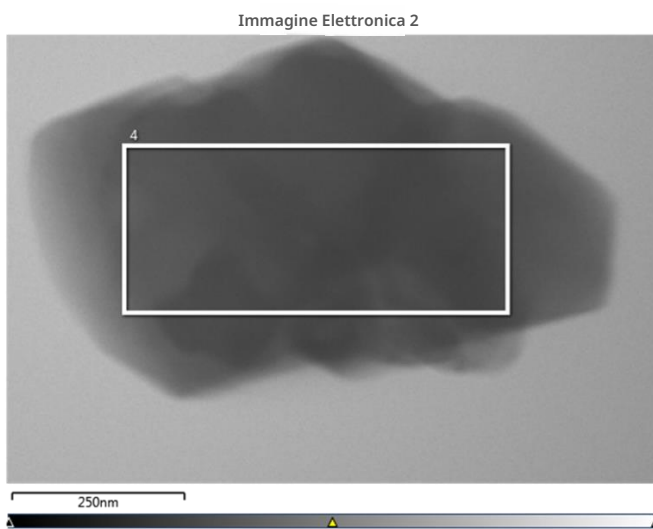


Fig. 4 Microscopia elettronica a scansione - vaccino Moderna.

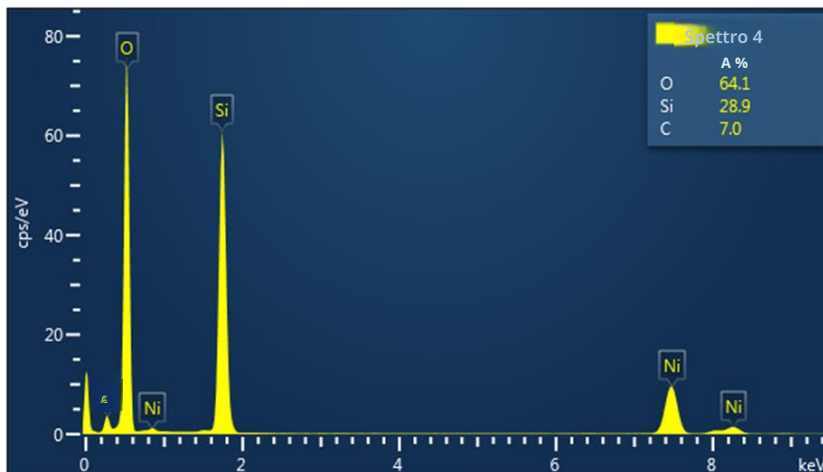


Fig. 5. Spettroscopia a raggi X a dispersione di energia - Vaccino Moderna

Immagine elettronica 3

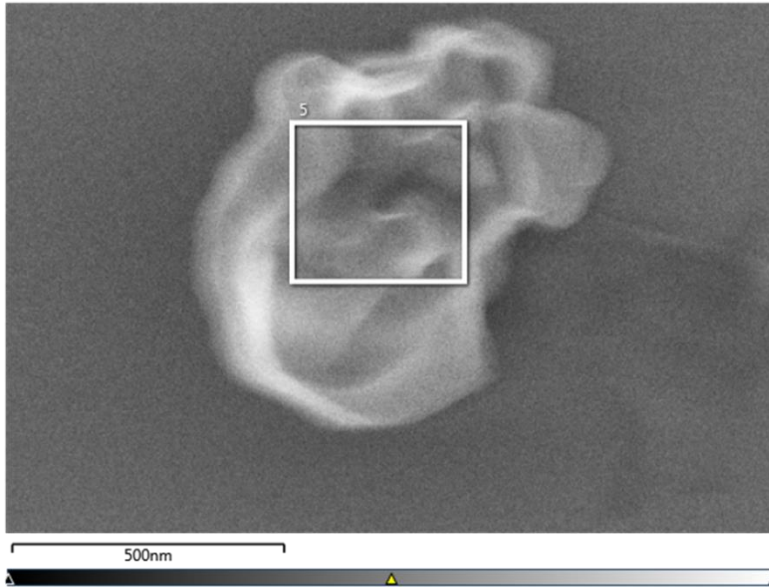


Fig. 6: Microscopia elettronica a scansione - vaccino Moderna.

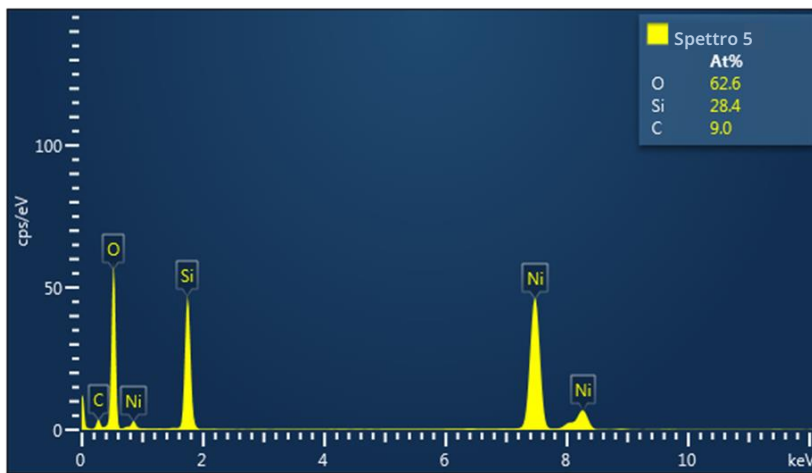


Fig. 7: Spettroscopia a raggi X a dispersione di energia - vaccino Moderna.

Immagine elettronica 4

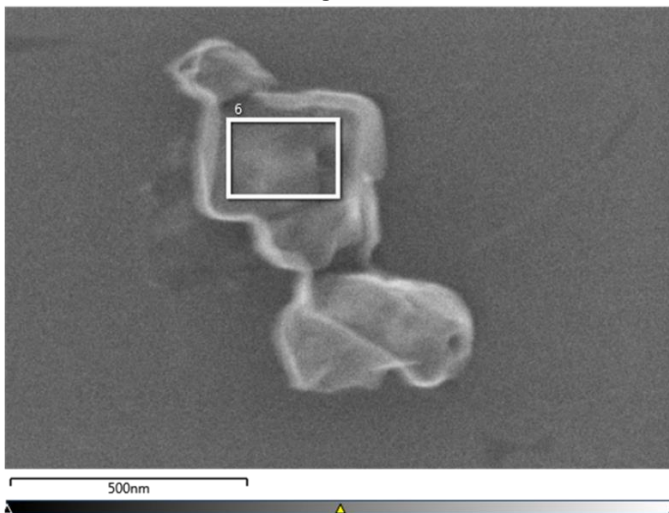


Fig. 8: Microscopia elettronica a scansione - vaccino Moderna.

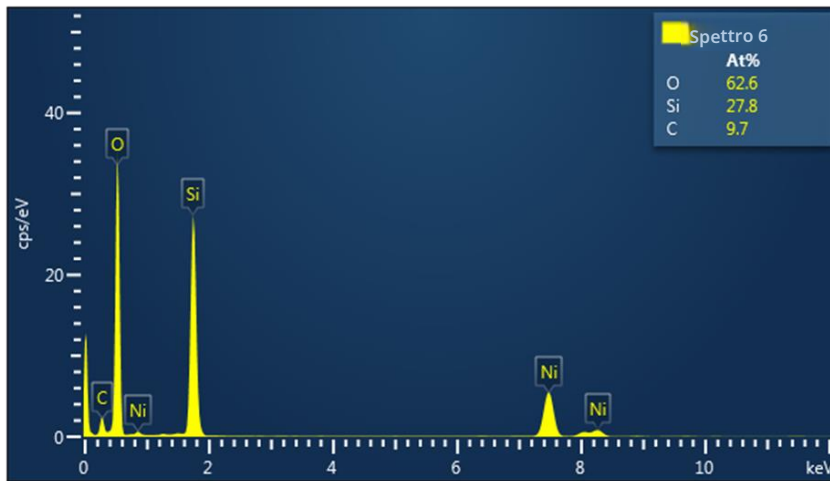


Fig. 9: Spettroscopia a raggi X a dispersione di energia - vaccino Moderna.

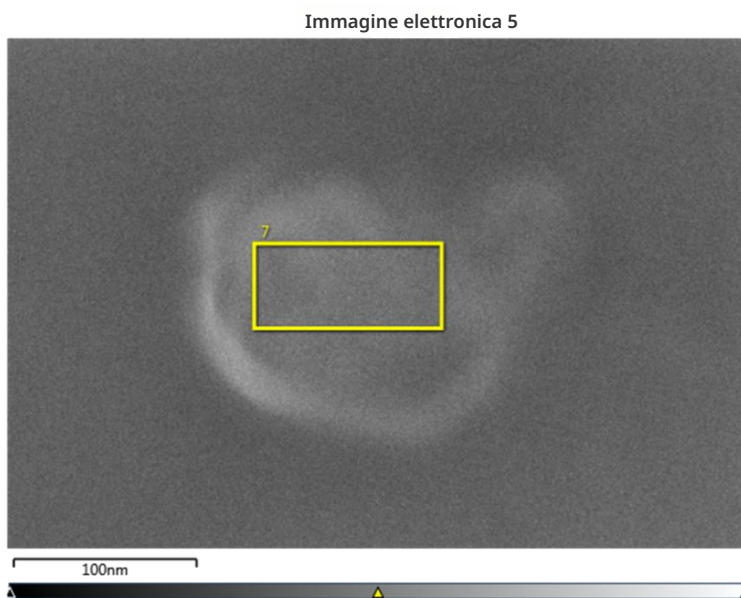


Fig. 10: Microscopia elettronica a scansione - vaccino Moderna.

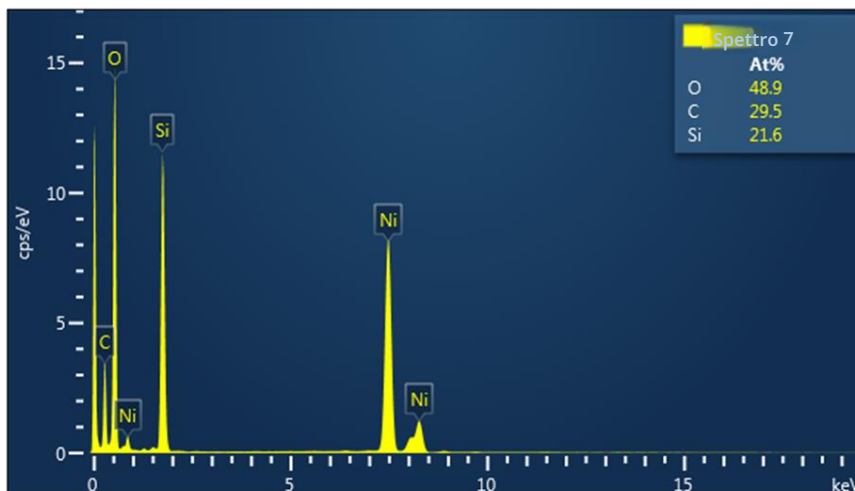


Fig. 11. Spettroscopia a raggi X a dispersione di energia - Vaccino Moderna

Immagine elettronica 7

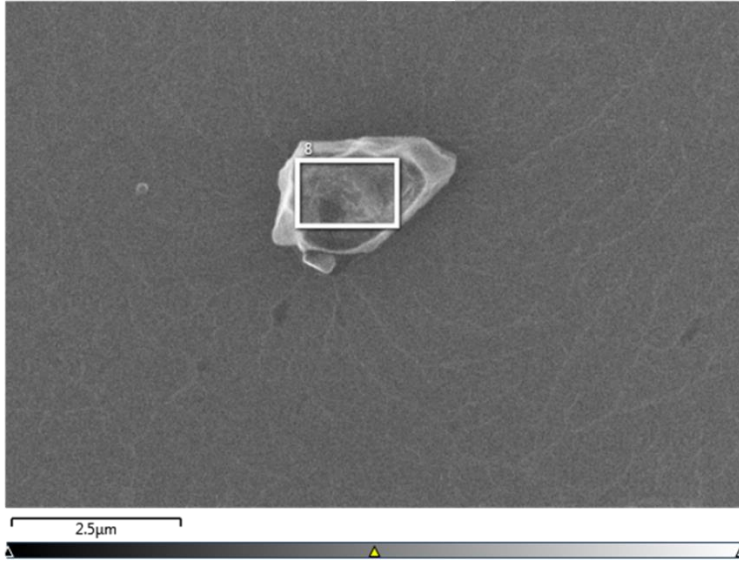


Fig. 12: Microscopia elettronica a scansione - vaccino Moderna.

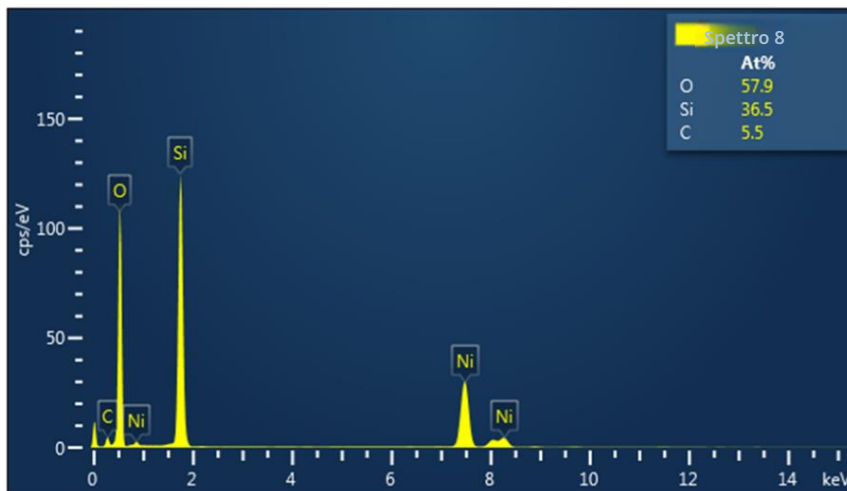


Fig. 13 Spettroscopia a raggi X a dispersione di energia - Vaccino Moderna

Immagine elettronica 8

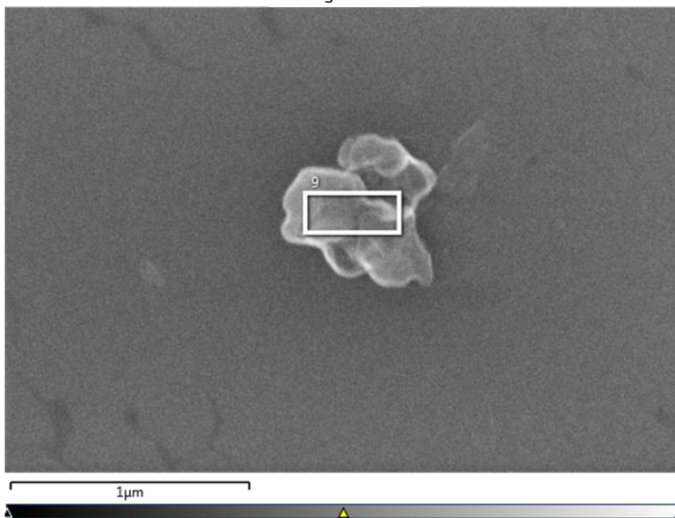


Fig. 14. Microscopia elettronica a scansione - vaccino Moderna.

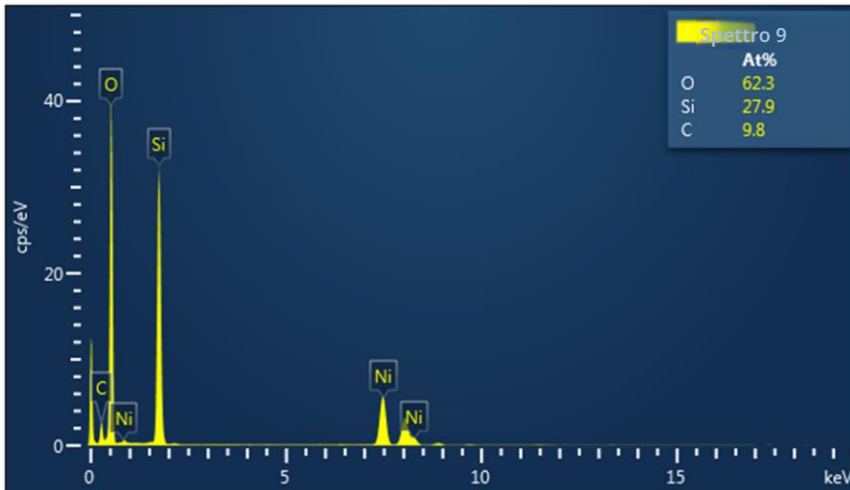


Fig. 15 Spettroscopia a raggi X a dispersione di energia - Vaccino Moderna

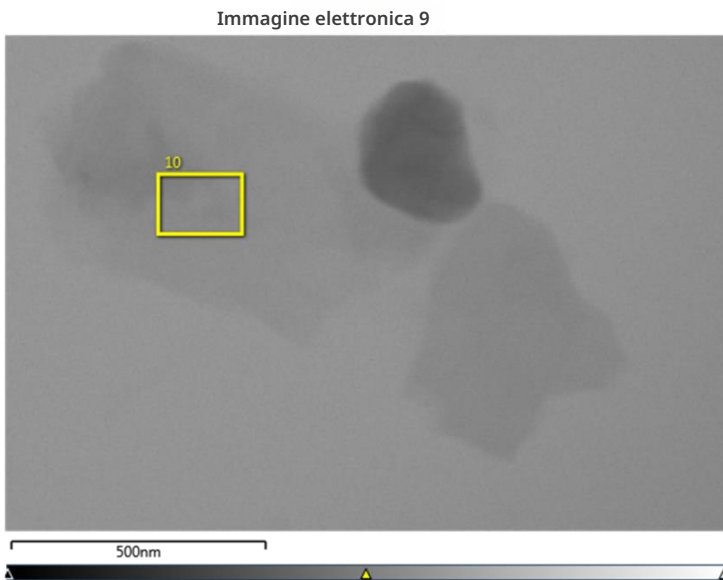


Fig. 16. Microscopia elettronica a scansione - vaccino Moderna.

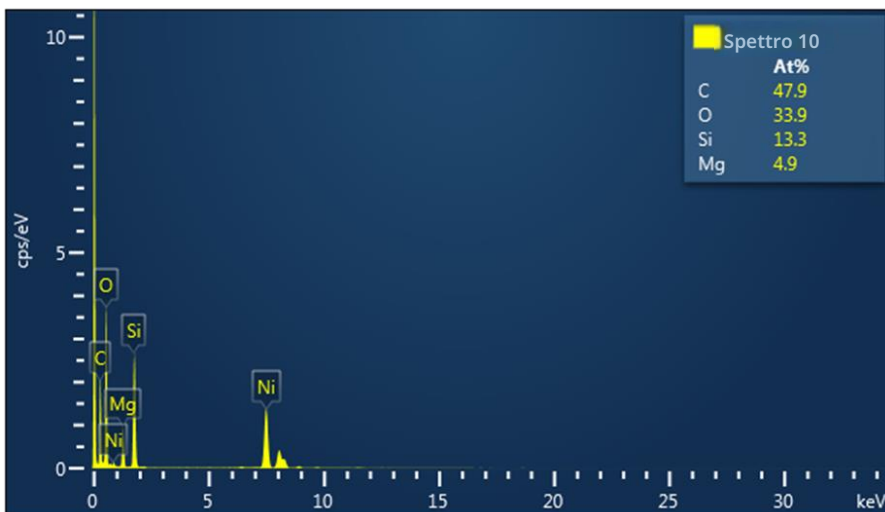


Fig. 17. Spettroscopia a raggi X a dispersione di energia - Vaccino Moderna

Immagine elettronica 10

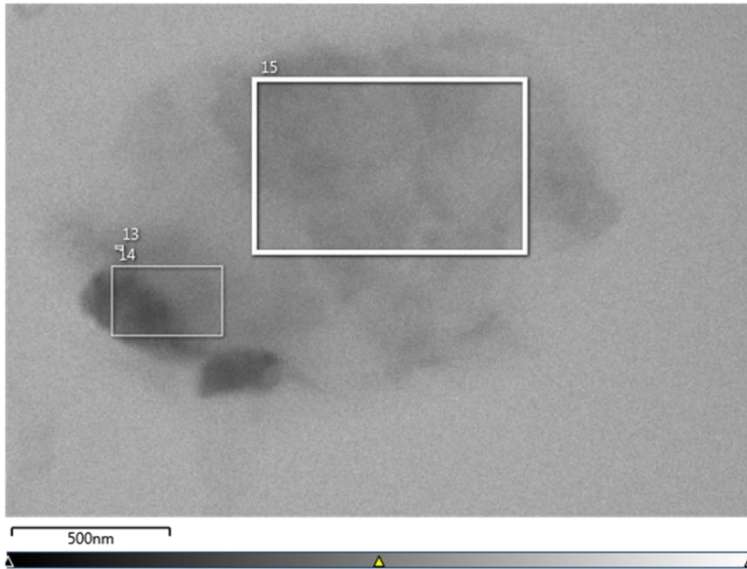


Fig. 18 Microscopia elettronica a scansione - Vaccino Moderna.

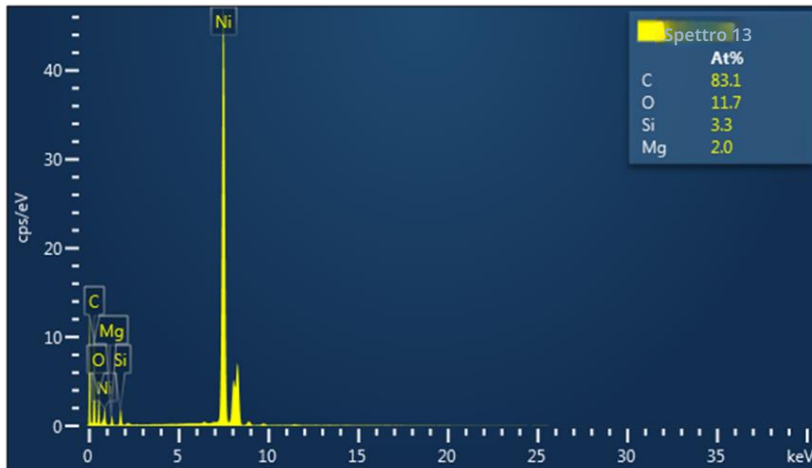


Fig. 19 Spettroscopia a raggi X a dispersione di energia - Vaccino Moderna

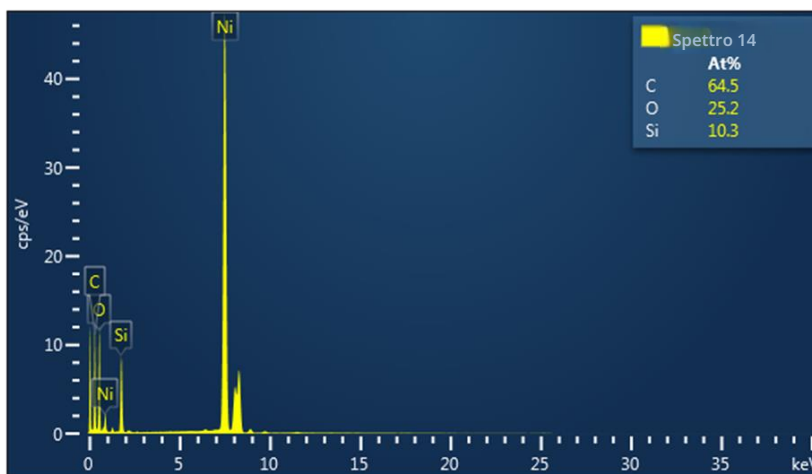


Fig. 20. Spettroscopia a raggi X a dispersione di energia - Vaccino Moderna

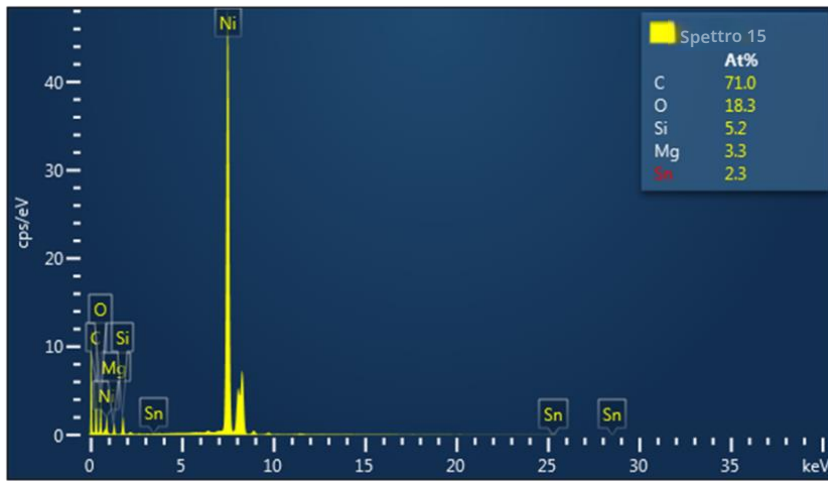


Fig. 21 Spettroscopia a raggi X a dispersione di energia - Vaccino Moderna

Immagine Elettronica 11

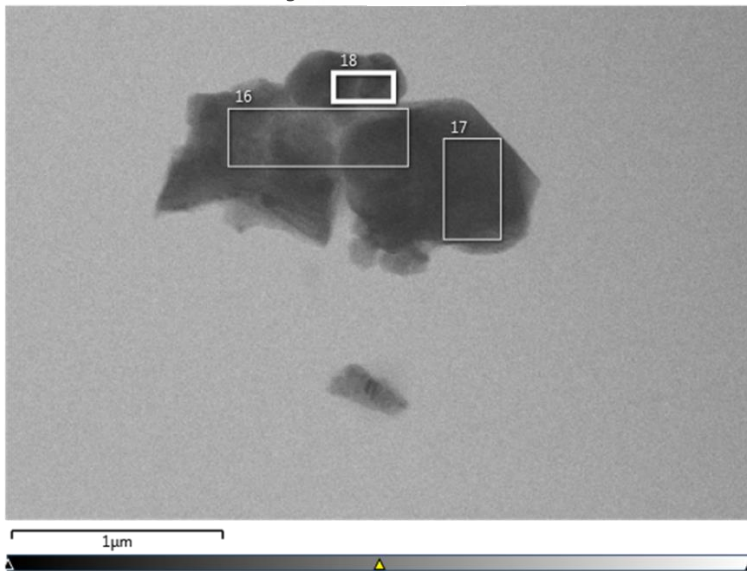


Fig. 22. Microscopia elettronica a scansione - vaccino Moderna.

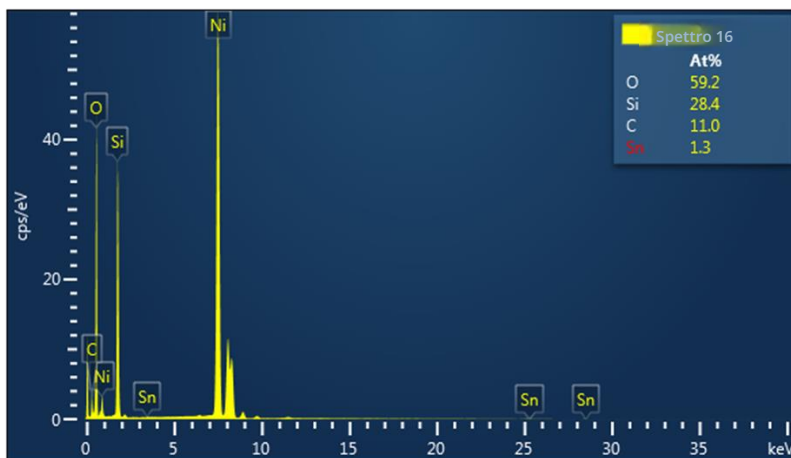


Fig. 23 Spettroscopia a raggi X a dispersione di energia - Vaccino Moderna

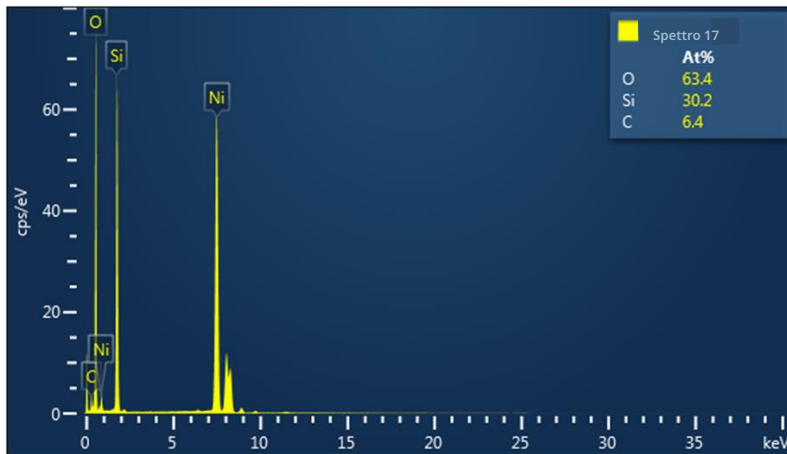


Fig. 24 Spettroscopia a raggi X a dispersione di energia - Vaccino Moderna

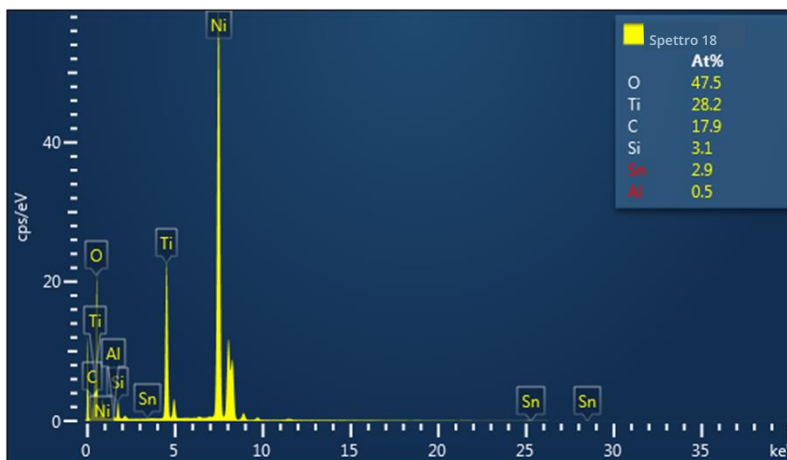


Fig. 25 Spettroscopia a raggi X a dispersione di energia - Vaccino Moderna

Le immagini che seguono sono ottenute tramite microscopia elettronica a scansione e spettroscopia a raggi X a dispersione di energia (EDX) e riguardano il vaccino Comirnaty Omicron B4-5.

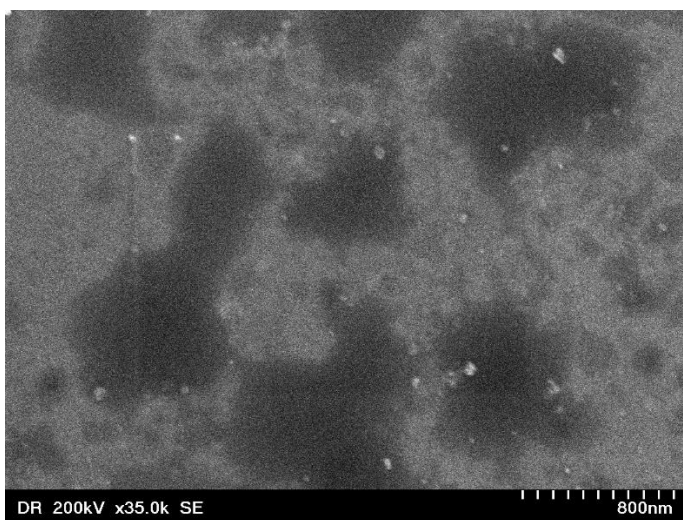


Fig. 26 Microscopia elettronica a scansione - Vaccino Comirnaty Omicron B4-5.

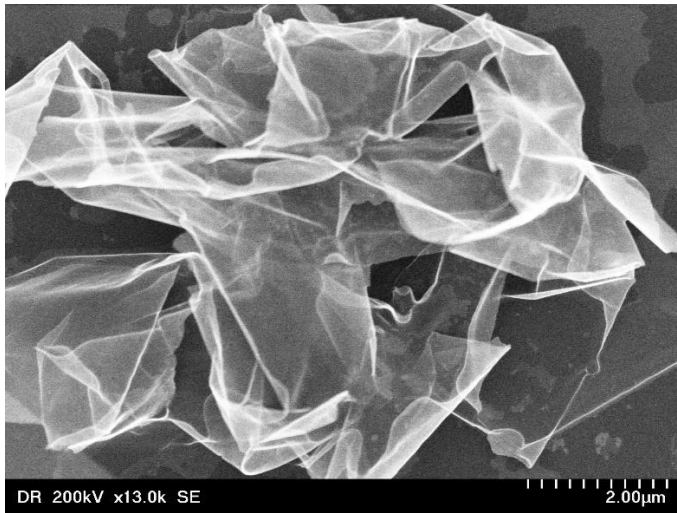


Fig. 27 - Microscopia elettronica a scansione - vaccino Comirnaty Omicron B4-5.

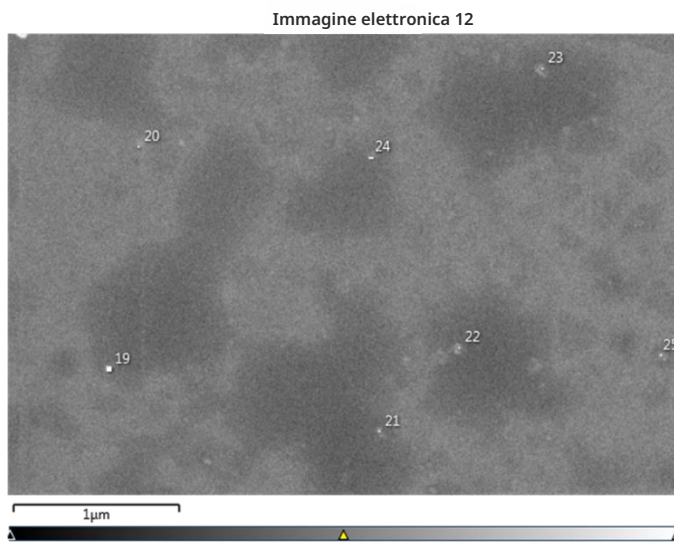


Fig. 28. Microscopia elettronica a scansione - vaccino Comirnaty Omicron B4-5.

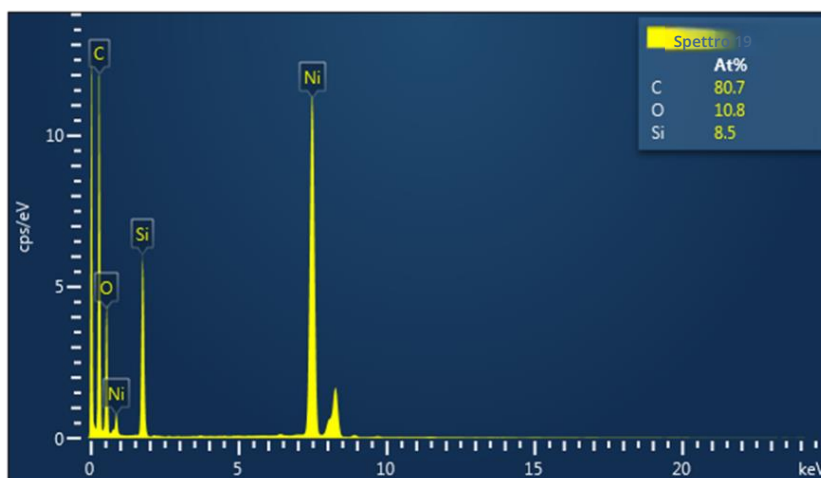


Fig. 29 - Spettroscopia a raggi X a dispersione di energia - vaccino Comirnaty Omicron B4-5.

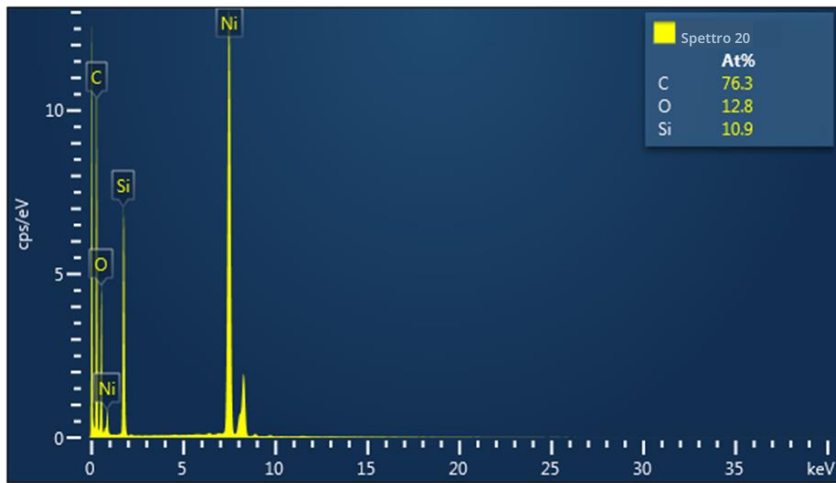


Fig. 30 Spettroscopia a raggi X a dispersione di energia - Vaccino Comirnaty Omicron B4-5

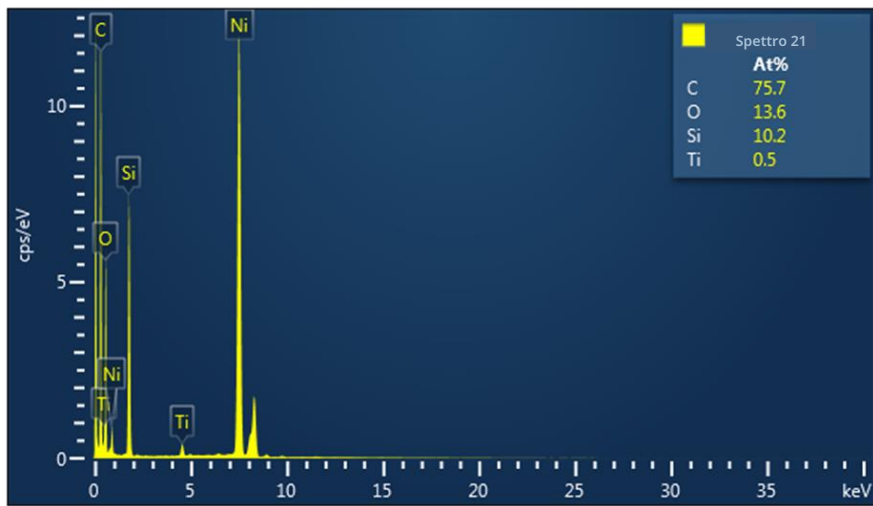


Fig. 31 Spettroscopia a raggi X a dispersione di energia - Vaccino Comirnaty Omicron B4-5

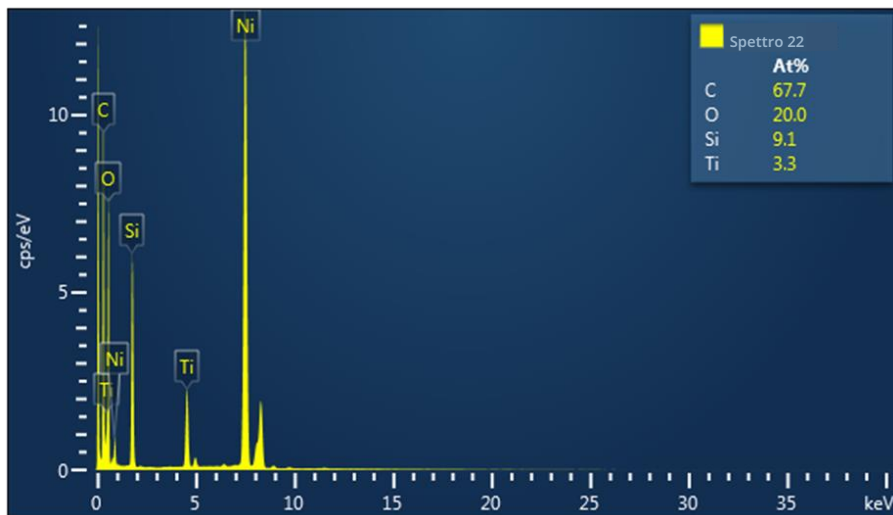


Fig. 32 Spettroscopia a raggi X a dispersione di energia - Vaccino Comirnaty Omicron B4-5

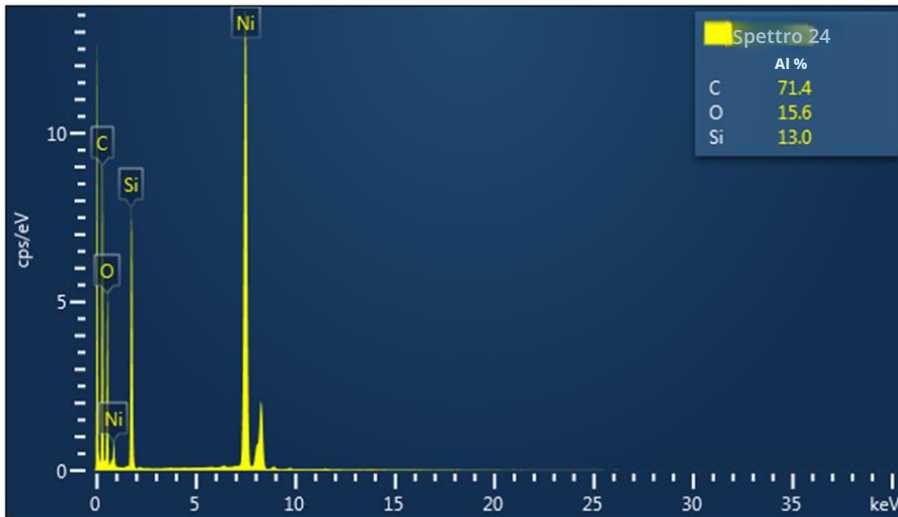


Fig. 33 Spettroscopia a raggi X a dispersione di energia - Vaccino Comirnaty Omicron B4-5

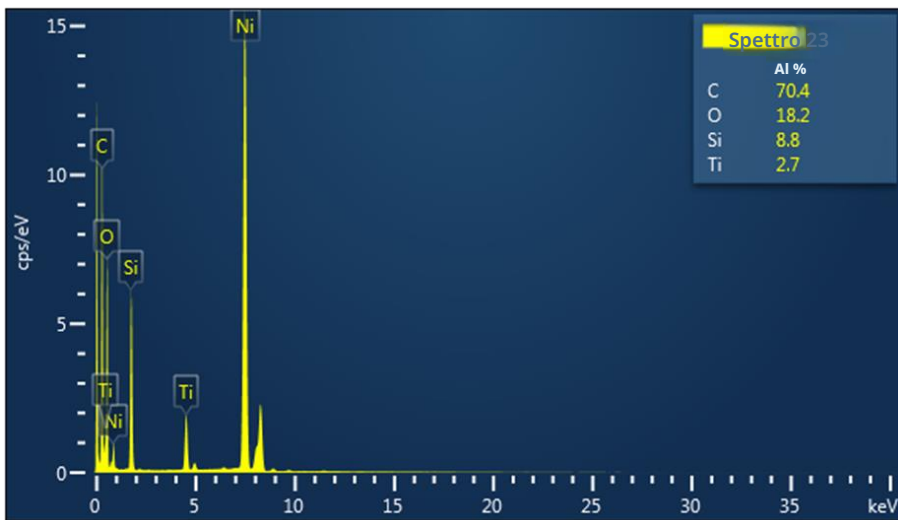


Fig. 34 Spettroscopia a raggi X a dispersione di energia - Vaccino Comirnaty Omicron B4-5

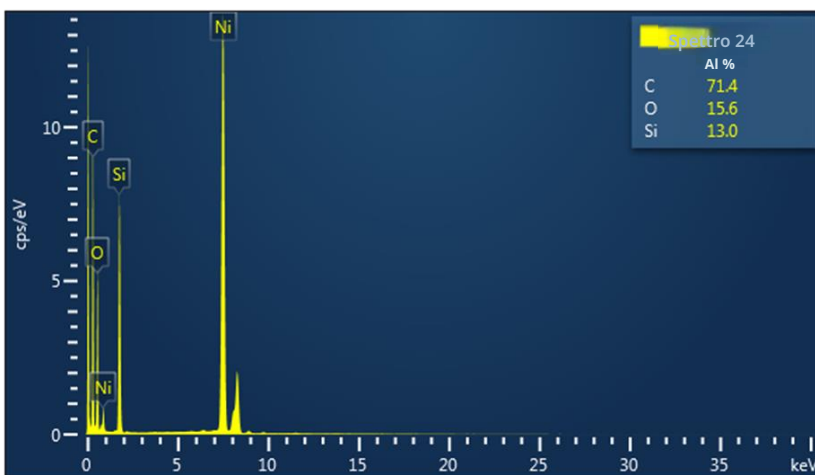


Fig. 35 Spettroscopia a raggi X a dispersione di energia - Vaccino Comirnaty Omicron B4-5

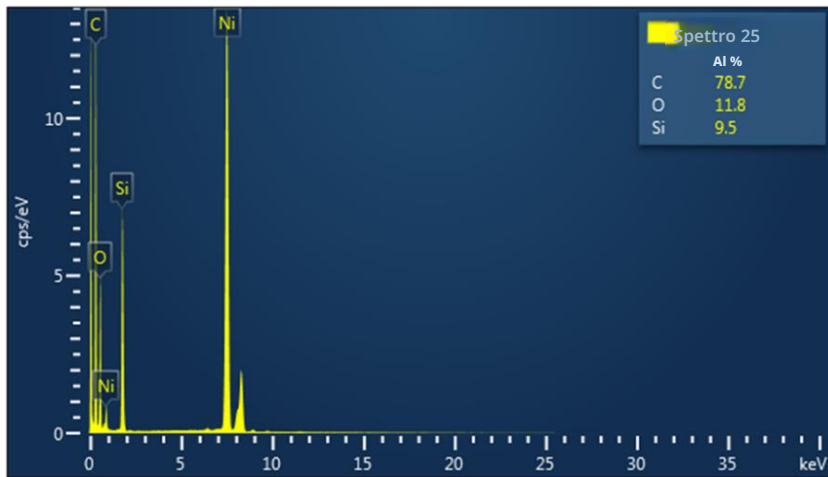


Fig. 36 Spettroscopia a raggi X a dispersione di energia - Vaccino Comirnaty Omicron B4-5

Immagine elettronica 13

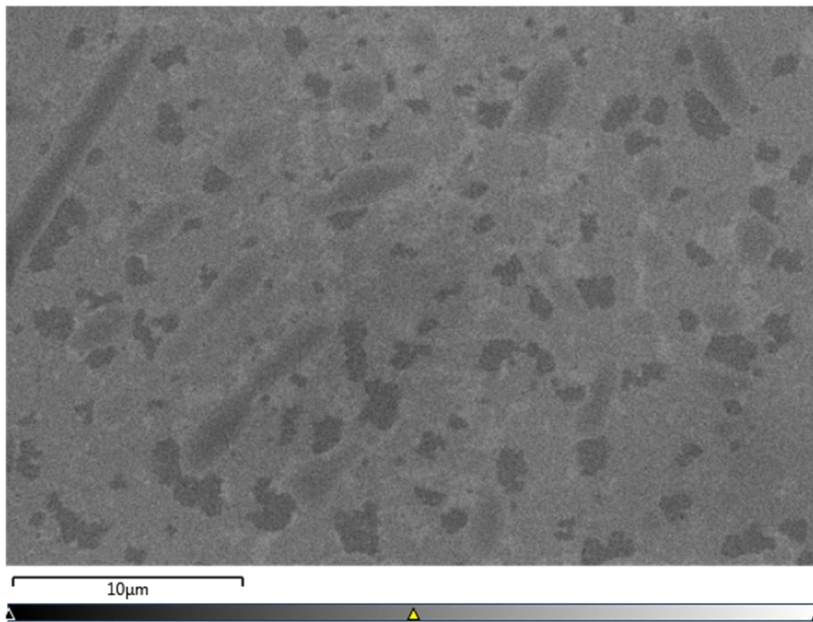


Fig. 37 Microscopia elettronica a scansione - Vaccino Comirnaty Omicron B4-5.

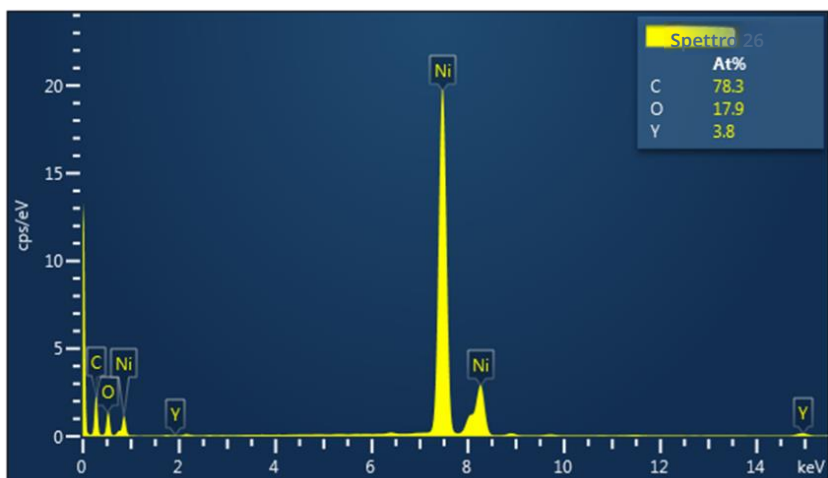


Fig. 38 Spettroscopia a raggi X a dispersione di energia - vaccino Comirnaty Omicron B4-5

Immagine elettronica 14

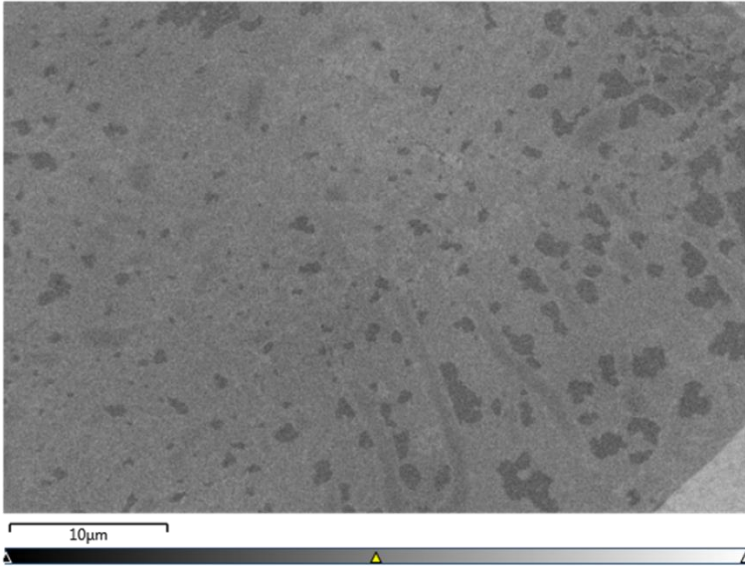


Fig. 39 Microscopia elettronica a scansione - Vaccino Comirnaty Omicron B4-5.

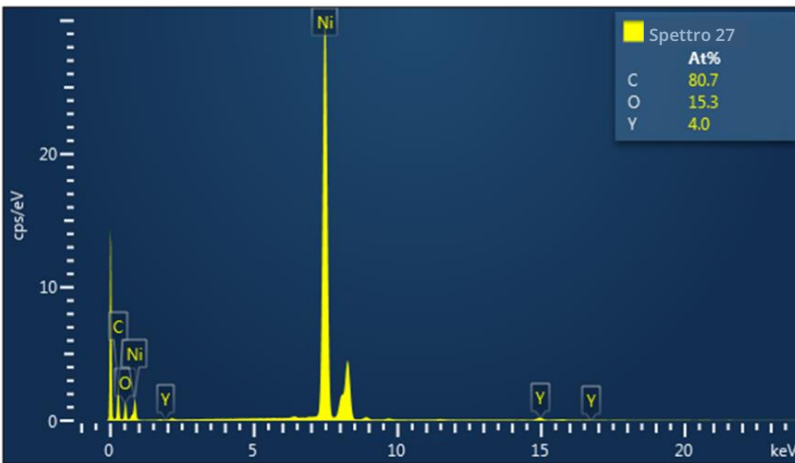


Fig.40 Spettroscopia a raggi X a dispersione di energia - Vaccino Comirnaty Omicron B4-5

Immagine elettronica 15

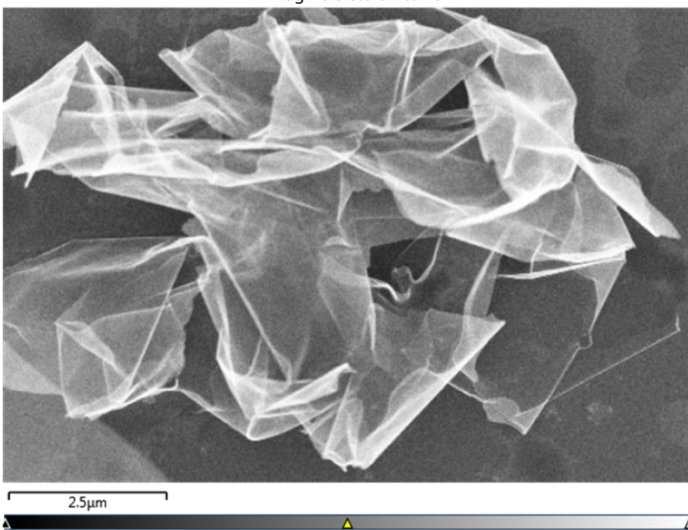


Fig.41 Microscopia elettronica a scansione - Vaccino Comirnaty Omicron B4-5.

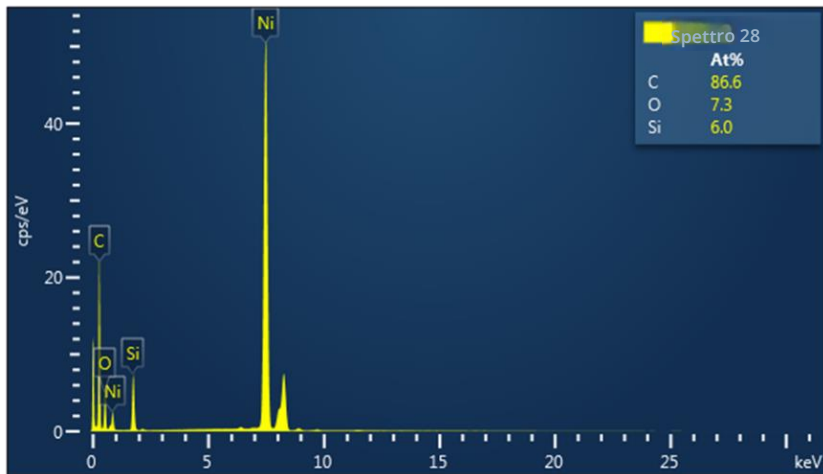


Fig.42 Spettroscopia a raggi X a dispersione di energia - Vaccino Comirnaty Omicron B4-5

Immagine elettronica 17

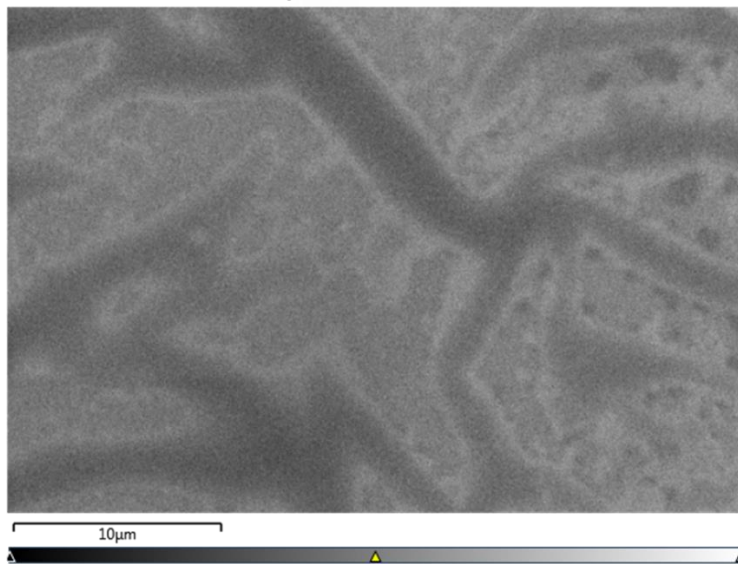


Fig.43 Microscopia elettronica a scansione - Vaccino Comirnaty Omicron B4-5.

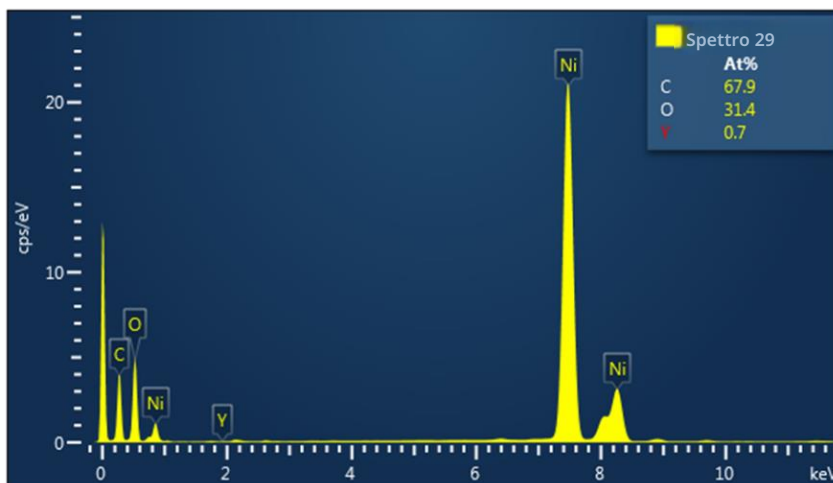


Fig.44 Spettroscopia a raggi X a dispersione di energia - Vaccino Comirnaty Omicron B4-5

Immagine elettronica 18

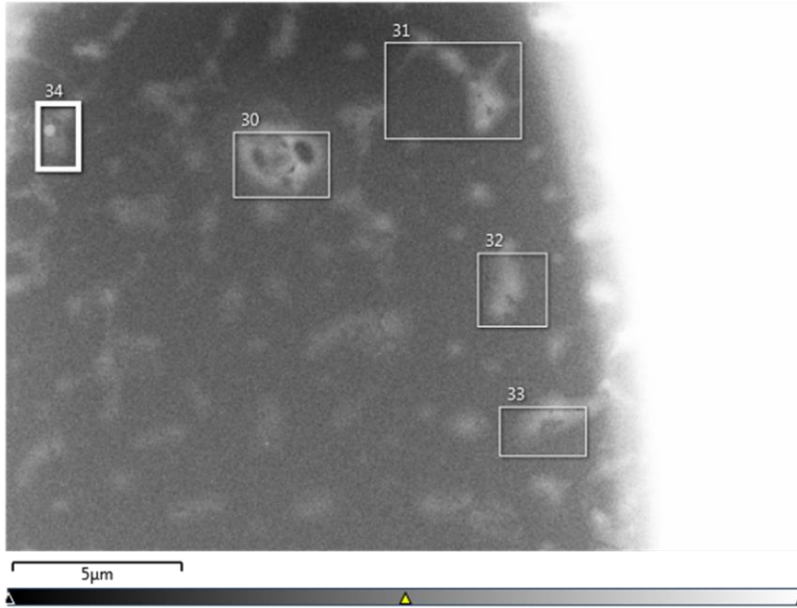


Fig.45 Microscopia elettronica a scansione - Vaccino Comirnaty Omicron B4-5

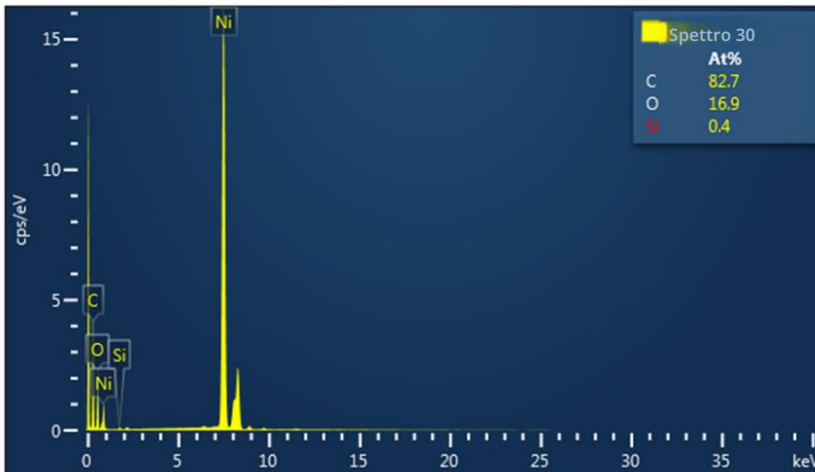


Fig.46 Spettroscopia a raggi X a dispersione di energia - Vaccino Comirnaty Omicron B4-5

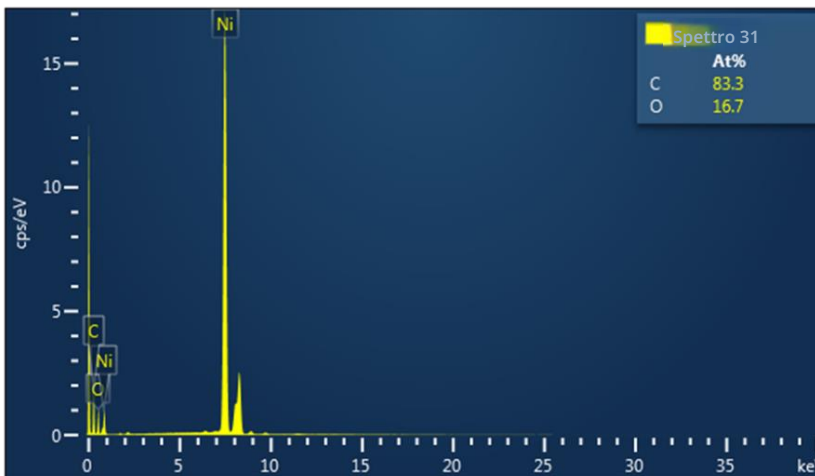


Fig.47 Spettroscopia a raggi X a dispersione di energia - Vaccino Comirnaty Omicron B4-5

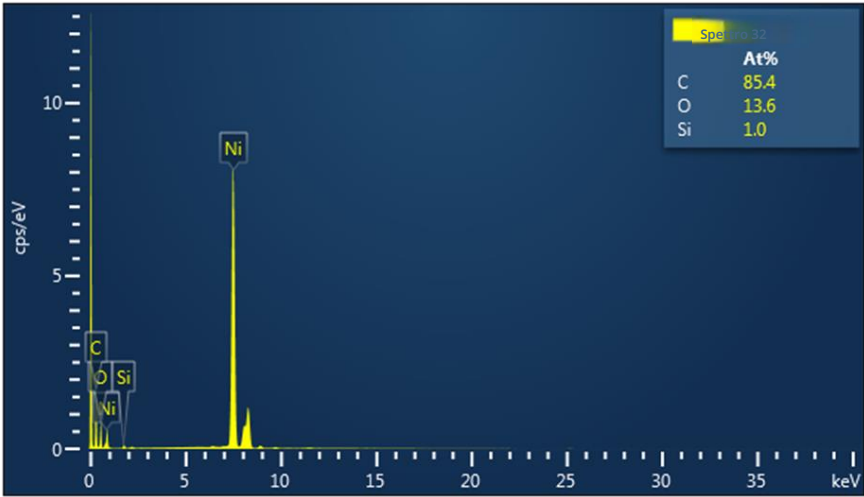


Fig.48 Spettroscopia a raggi X a dispersione di energia - Vaccino Comirnaty Omicron B4-5

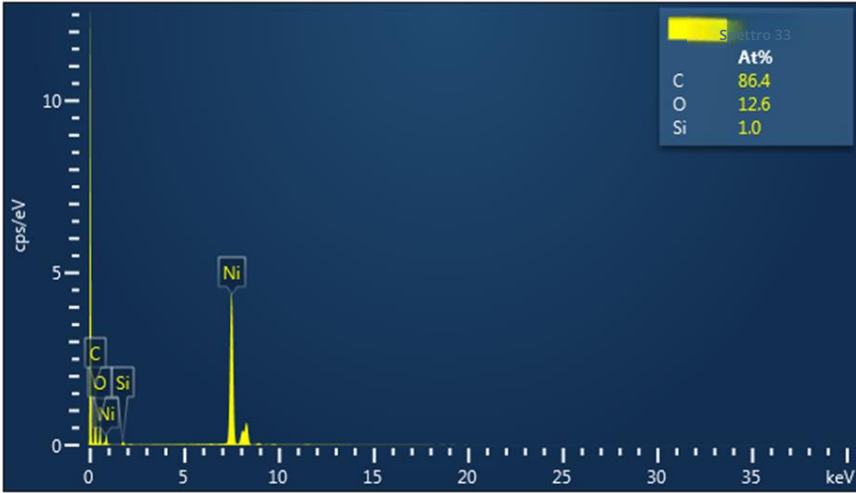


Fig.49 Spettroscopia a raggi X a dispersione di energia - Vaccino Comirnaty Omicron B4-5

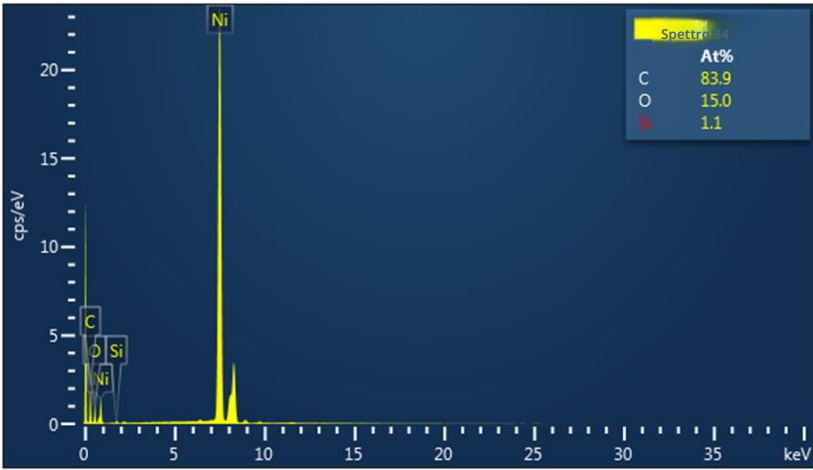


Fig.50 Spettroscopia a raggi X a dispersione di energia - Vaccino Comirnaty Omicron B4-5

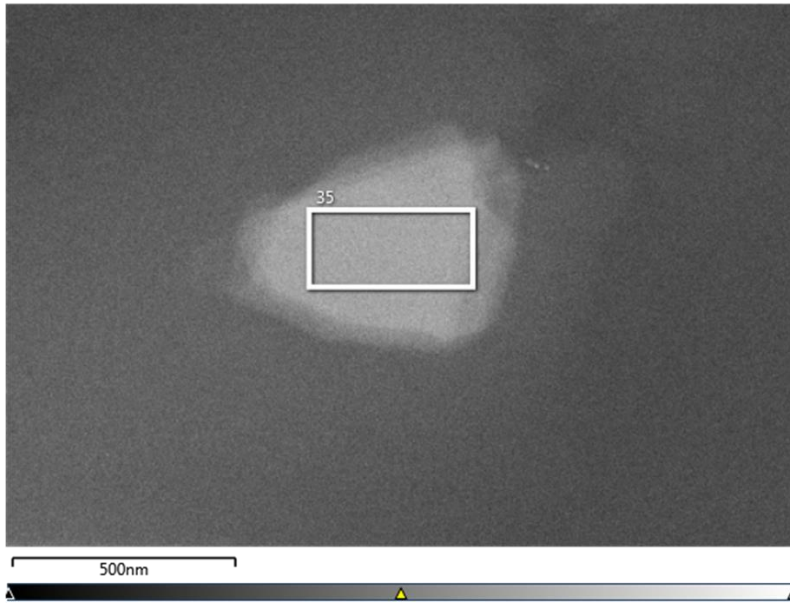


Fig.51 Microscopia elettronica a scansione - Vaccino Comirnaty Omicron B4-5

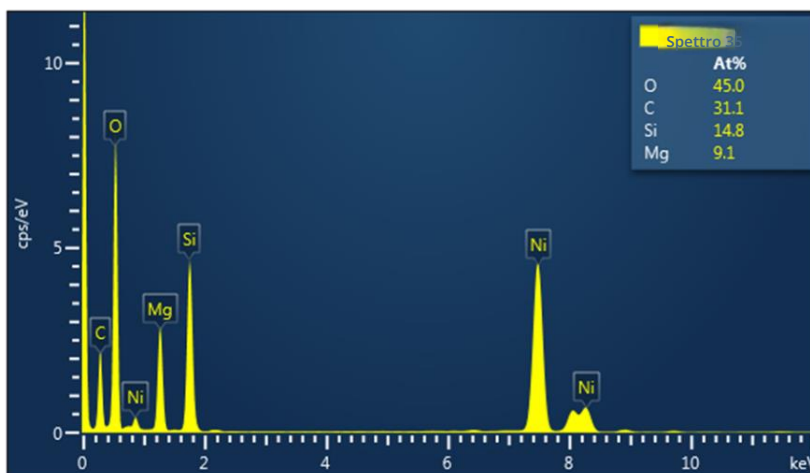


Fig.52 Spettroscopia a raggi X a dispersione di energia - Vaccino Comirnaty Omicron B4-5

Discussion

Elementi quali silicio, ittrio, titanio, alluminio, stagno e magnesio non risultano essere stati riportati nel foglietto illustrativo di questi prodotti. Pertanto, questi prodotti sembrano contenere elementi diversi da quelli dichiarati, presumibilmente riconducibili a nanotecnologie.

L'ittrio è impiegato nella nanoelettronica (4) e nell'optoelettronica (5). Il silicato di ittrio trova impiego nella produzione di disinfettanti anti-COVID attivabili mediante luce naturale o LED (6). Ritengo che non sia casuale il massiccio investimento del programma FP9 (2021-2027) nella fotonica (7).

È risaputo che il silicio viene utilizzato per la produzione di nanosensori e punti quantici biocompatibili. (8, 9) .

In merito all'assenza di azoto e fosforo (ovvero mRNA o DNA), si potrebbe ipotizzare la presenza di variazioni tra lotti. Tuttavia, quale probabilità vi era di riscontrare due prodotti differenti privi di mRNA?

I dati da me rilevati (10) sono suffragati dalle indagini condotte da altri ricercatori (11, 12).

Quali strumenti abbiamo a disposizione per ottenere un'analisi ufficiale della composizione dei vaccini COVID? Come è stato possibile che l'intero sistema di regolamentazione, approvazione e distribuzione abbia permesso che oltre due terzi della popolazione mondiale siano stati iniettati con prodotti la cui composizione non corrisponde a quanto dichiarato?

Conclusion

Alla luce delle discordanze riscontrate tra la composizione identificata tramite microscopia elettronica e la composizione dichiarata dei vaccini COVID, si rende necessaria un'immediata e pressante richiesta di analisi ufficiali di tali prodotti.

Soltanto conoscendo la loro composizione saremo in grado di individuare soluzioni efficaci per contrastare e trattare le reazioni avverse.

Inoltre, è di fondamentale importanza accertare lo scopo per cui tali prodotti sono stati somministrati alla popolazione mondiale e punire severamente coloro che hanno premeditato tali azioni, abusando della buona fede e dell'ingenuità delle persone, inclusi i medici.

Bibliografia

1. Khurana A. Role of nanotechnology behind the success of mRNA vaccines for COVID-19. *Nano Today*. 2021 Jun;38:101142. doi: 10.1016/j.nantod.2021.101142. Epub 2021 Mar 26. PMID: 33815564; PMCID: PMC7997390. <https://www.sciencedirect.com/science/article/pii/S1748013221000670?via%3Dihub> ,
2. Chen, S., Huang, X., Xue, Y. *et al.* Vaccini a mRNA basati sulle nanotecnologie. *Nat Rev Methods Primers* **3**, 63 (2023). <https://doi.org/10.1038/s43586-023-00246-7> <https://www.nature.com/articles/s43586-023-00246-7>
3. RIASSUNTO DELLE CARATTERISTICHE DEL PRODOTTO https://www.ema.europa.eu/en/documents/product-information/comirnaty-epar-product-information_en.pdf
4. Zeng, C., Kent, P., Kim, TH. *et al.* Fluttuazioni dell'ordine di carica nei silicidi unidimensionali. *Nature Mater* **7**, 539 – 542 (2008). <https://doi.org/10.1038/nmat2209> <https://www.nature.com/articles/nmat2209>
5. Sadia Baig: transistor a film sottile di CuSCN drogato con ittrio: sintesi e studio sulla caratterizzazione optoelettronica <https://www.nature.com/articles/nmat2209>
6. Gli scienziati dell'UCF dimostrano l'efficacia di un disinfettante contro il COVID-19 in un recente studio <https://www.nano.gov/node/5166>
7. L'era della luce in Europa! Come la fotonica alimenterà la crescita e l'innovazione. Roadmap strategica 2021 – 2027 https://ec.europa.eu/research/participants/documents/downloadPublic?documentIds=080166e_5c6a3e197&appId=PPGM_S
8. Debiprasad Roy, Punti quantici di silicio biocompatibili multiemissivi: sintesi, caratterizzazione, imaging intracellulare e miglioramento della duplice efficacia farmacologica, *Dyes and Pigments*, Volume 186, 2021, 109004, ISSN 0143-7208, <https://doi.org/10.1016/j.dyepig.2020.109004> . <https://www.sciencedirect.com/science/article/abs/pii/S0143720820317010>
9. Punti quantici di silicio biocompatibili multiemissivi: sintesi, caratterizzazione, imaging intracellulare e miglioramento della duplice efficacia farmacologica <https://pubs.acs.org/doi/10.1021/nn101016f>

10. Dr. Geanina Hagimă: “Vaccinurile covid” ARNm - novità in merito alla composizione. Nanotecnologia –l'elefante nella stanza. Soluzioni?<https://www.activenews.ro/opinii/Dr.-Geanina-Hagima-Vaccinurile-covid-ARNm-noutati-in-ce-priveste-compozitia.-Nanotecnologia-%E2%80%93-elefantul-din-camera.-Solutii-186261>
11. [Analisi di Iniezioni Covid 19 - Conversazione con la Biologa Lorena Diblasi - EP 23](https://rumble.com/v4zzbqx-analysis-of-covid-19-injections-conversation-with-biotechnologist-lorena-di.html?utm_source=substack&utm_medium=email)
https://rumble.com/v4zzbqx-analysis-of-covid-19-injections-conversation-with-biotechnologist-lorena-di.html?utm_source=substack&utm_medium=email
12. Autoassemblaggio in Tempo Reale di Costruzioni Artificiali Visibili Stereomicroscopicamente in Campioni Incubati di Prodotti a mRNA Principalmente da Pfizer e Moderna: Uno Studio Longitudinale Completo
<https://mail.ijvtpr.com/index.php/IJVTpr/article/view/102>

Documento tradotto in italiano dal team di M-Power Translations.

Canale Telegram:

<https://t.me/mpowertranslations>